

플라즈마 중합 폴리스틸렌의 전기전도 기구해석

○박재윤 박종관* 윤충석* 임현찬** 이덕출*
○인하대학교 * 인하대학교 ** 포항제철

Electrical conduction mechanism interpretation of
Plasma-polymerized styrene (PPS)

Park Jae-Youn[○] Park Jong-Kwan^{*} O Heun-Seock^{*} Im Hun-Chan^{**} Lee Deok-Chool^{*}
○Inha Univ * Inha Univ ** POSCO

1. 서론

최근 플라즈마 중합법은 유기와 무기물질의 필름 형성과 표면처리에 광범위하게 이용되고 있다. 이중에서 유기모노머 가스 중에서 글로우 방전을 행하여 유기 고분자박막을 생성시키는 방법을 플라즈마 중합법 또는 글로우 방전 중합법이라고 한다. 이 플라즈마 중합법은 종래의 화학적 중합법에 필요한 개시제나 촉매가 필요 없고 기상으로부터 신속 균일하게 중합막을 작성할 수 있으므로 서온 플라즈마 상태에서 각각 반응을 일으키기 때문에 예고온 예상 실현될 수 있는 기판에서도 중합이 가능하다. 이렇게 형성된 플라즈마 중합유기박막은 비정질이며 편향이 거의 없는 고도의 고교밀합구조을 하고 있어 일반적으로 화학적 중합법에 의한 고분자박막에 비해 내열성, 내마모성, 내약품성등의 장점을 갖고 있으며 이러한 장점때문에 플라즈마 중합막은 분리막, 표면보호막, 광학재료, 의료용 재료, 전자재료등의 응용분야에서 광범위하게 연구되고 있다. 유기박막은 낮은 인가전압으로 고전계가 형성되며 인가전압이 낮기 때문에 예고온 나방전이 생기지 않는 등의 측정상의 단점이 있어 고분자재료의 고전계 전기전도 기구를 규명하는 방법으로 주목되고 있다.

본 연구에서는 스티렌 모노머를 사용해서 플라즈마 중합스티렌(PPS; Plasma-Polymerized Styrene) 박막을 작성하여 온도 및 전류를 변화시켜 시간에 따른 전도전류를 측정하고 전계-전류밀도 특성을 얻었으며 일반적인 화학적 중합막과 비교하기 위해 동일전계에서 도전율과 절대온도 와의 관계를 (Arrhenius)의식에 의해서 Plot하였다. 그리고 전계-전류밀도의 특성을 각종 전도 이론으로 해석하였고 캐리어의 Trapping을 조사하기 위해 열자극 전류(TSC)를 측정하고 검討하였다.

2. 실험

2-1 플라즈마 중합막의 작성

2-1-1 플라즈마 중합장치

본 연구에서는 작성된 박막의 안정성이 좋고 저온에서 유익한 고유방식의 무전극 형을 사용하였으며 이 플라즈마 중합장치의 개략도는 그림 1과 같다.

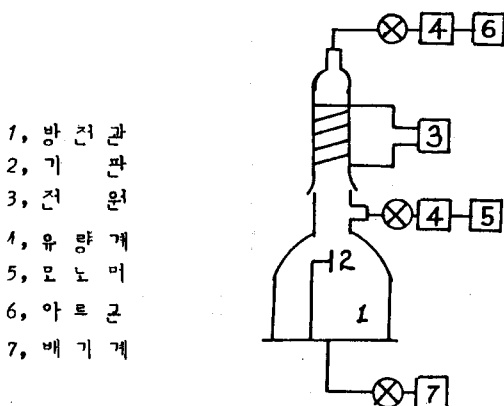


그림 1. 장치의 개략도

글로우 방전을 일으키기 위한 전원으로는 국내에서 제작한 13.56 MHz(1kW)의 고주파전원을 사용하였다. 배기는 토마리펌프와 확산펌프를 사용하여 상호절환이 가능하도록 하였다. 진공검출은 일본 OKANO 제 KS 신형진공계(10^{-4} Torr)를 사용하였다. 그리고 미중합 모노머가 토마리펌프로 유입되는 것을 방지하기 위하여 드라이アイ스로 쿨드 트랩을 하였다.

2-1-2 시료의 작성

본 실험에서 사용한 유기 모노머는 일본 순정화학제 순정1급 스티렌 모노머를 강연정제법으로 정제를 해서 사용하였다. 시료의 작성방법은 다음과 같다.

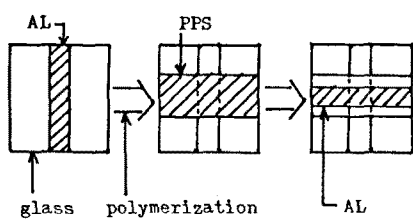


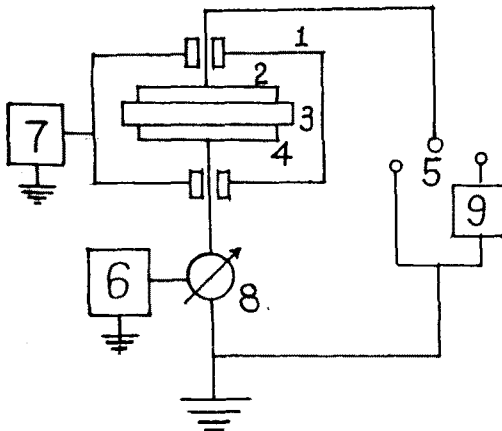
그림 2. 시료작성 순서

- 1) 그림2와 같이 유리기판위에 하부전극으로 알미늄을 폭3mm 되도록 진공증착하여 반응관 내부에 고정시킨다.
- 2) 드라이아이스로 모노미를 냉각시킨 상태에서 토탄 퍼퍼와 확산펌프로 반응관과 모노미 용기를 10^{-4} Torr 정도로 배기하여 진류 불순물을 제거한다.
- 3) 배기계를 차단한 후 가열하여 증기압을 높인 모노미 가스와 아르곤 가스를 각각 50 cc/min로 반응관 내로 유입시키고 반응관 내부의 압력이 0.5 Torr 이 유지되면 중합을 시작한다.
- 4) 15분간 중합을 한 후 전원 및 모노미 유입을 차단하고 다시 반응관 내부를 10^{-4} Torr 정도로 수분과 배기한 후 시료를 꺼낸다.
- 5) 알미늄으로 폭3mm 되도록 하부전극과 직교하게 상부전극을 증착시킨다.

2-2 측정

2-2-1 측정장치

본 실험에서 사용한 측정장치의 계략도는 그림3과 같다.



1. Shield chamber 2. Upper electrode 3. Specimen

4. Down electrode 5. Switch 6. Recorder

7. Themperture controller 8. Electrometer 9. D.C P.

그림 3. Structure of measurement apparatus

2-2-2 측정 방법

1) 전도전류 측정

전기류를 인가하고 충전전류 I_c 를 온도를 변화시기면서 측정하였다.

2) 두께 측정

시료를 몰드에 삽입한 후 그 표면을 같아서 SEM 카이 두께를 측정하였다.

3. 결과

본 연구의 결과는 다음과 같다.

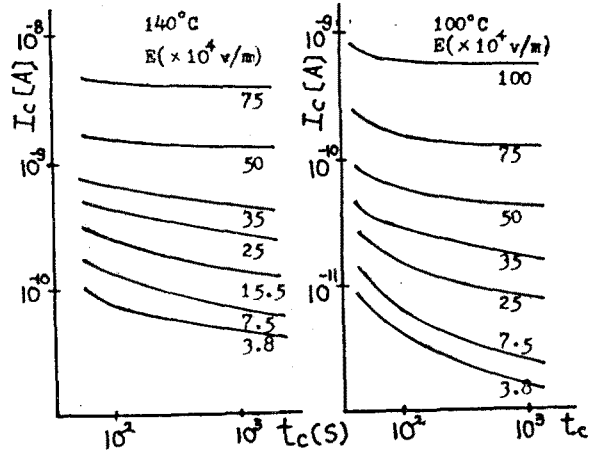


그림 4. Transient conduction currents

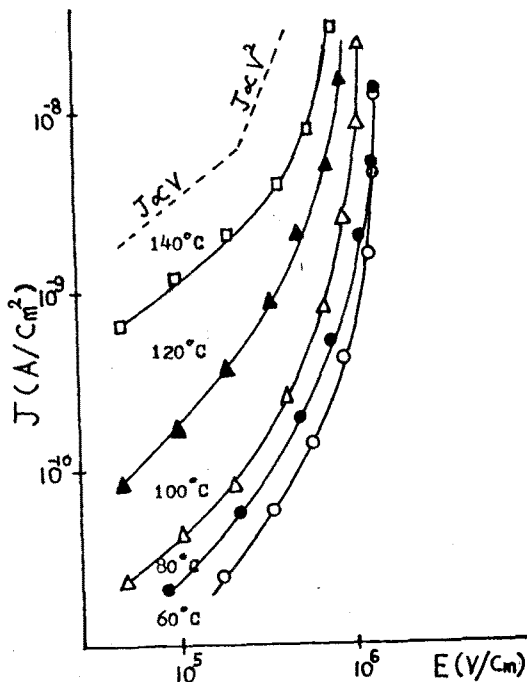


그림 5. Field(E)-Current density(J) Charateristics

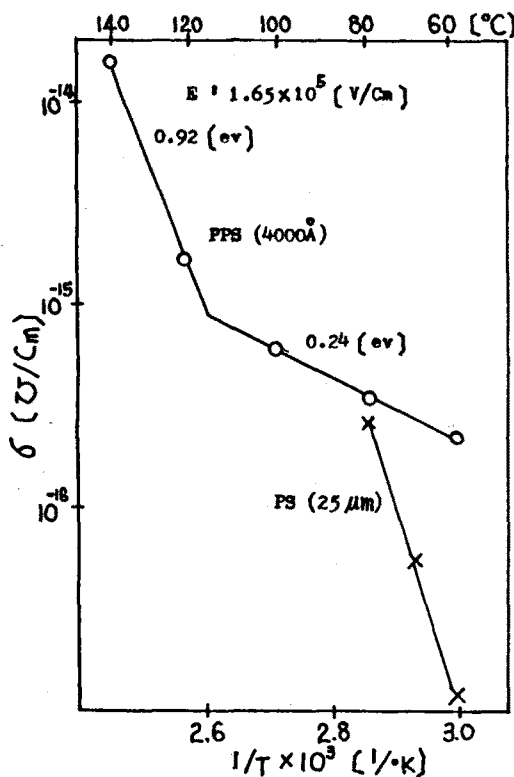


그림6, Arrhenius Plots of electrical conductivity

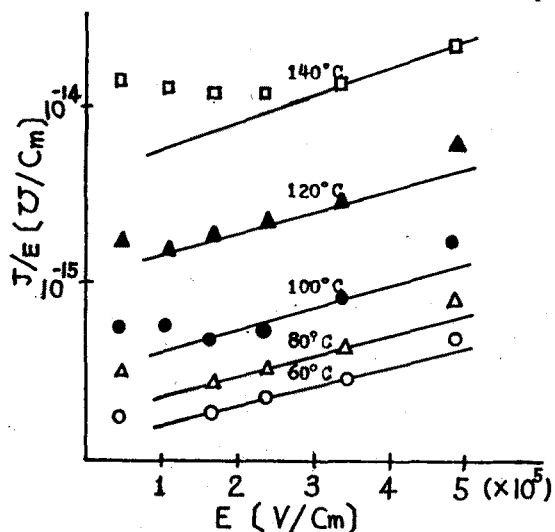


그림7, Poole-Frenkel Plot

4. 결론

- 1) 시간에 따른 전류는 고온도, 고전계에서는 전압인 가 후 단시간내에 전류가 일정치에 도달하였고 저온도, 저전계에서는 전류가 시간이 지남에 따라 계속 감소하는 경향을 보았다.
- 2) PPS 박막은 PS 필름 보다 활성화에너지가 작았으며 고전계 전도 기구에 의한 PPS 박막의 전도 기구는

공간전하 제한전류 형이 지배적인 것으로 나타났다.
 3) TSC 측정에서 두 개의 피크가 나타났으며 50°C 부근의 피크는 서로 내부에 트랩된 전하의 방출로 인하여 생긴 것으로 볼 수 있으며 120°C 부근의 피크는 TSC의 T_g 부근의 분자쇄의 운동에 의해 기인된다.

참고문헌

- 1) S. Morita, S. Hattori and Ieda, "Plasma Polymerization and its Application" ISIAT'82, 6th Symposium, 253.
- 2) Jerome Goodman, "The Formation of Thin Polymer Films in the Gas Discharge", J. poly. Sci. Vol XLIV, ISSUE 144(1960)
- 3) M. Minumi, H. Kobyashi et al, "Morphology of Plasma-polymerized ethlene" J. Appl. Phys, Vol 44, No.10, october, 1973
- 4) S. Nakamura, T. Murata, G. Sawa, "Dielectric properties of plasma polymerized styrene film" J. Appl. Phys, Vol 54(12), December. 1983
- 5) M. Ieda, "electrical conduction and carrier traps in polymeric materials, "IEEE . Trans. EI, Vol. EI-19 No.3, June 1984
- 6) Teruo Miyamoto and Kyoichi Shibayama, "Free-Volume model for ionic conductivity in polymers" J. Appl. Phys, Vol. 44, No. 12, December 1973
- 7) 이덕출 외 2, "플라즈마 중합방법에 의한 유기박막의 성장기구에 관한 연구", 대한전기학회 논문지, Vol.36, No.29(1987)
- 8) 이덕출 외 1, "플라즈마 중합방법에 의한 유기박막의 유전특성에 관한 연구", 대한전기학회 논문지, Vol.36, No.4 (1987)
- 9) 일본전기학회, "유전체 현상론", (1976)
P.P 220 - 241
- 10) 동경화학동인, "플라즈마 중합" (1986)
P.P 129 - 212